

(28) 常時微動による地中空洞の検出

(財) 鉄道総合技術研究所

富田 健司

(財) 鉄道総合技術研究所

中村 豊

1. はじめに

盛土などの土構造物においては、降雨や走行車両に起因する振動などの影響で、内部に空洞が生じることがある。こうした地中空洞の存在を的確に把握し、適切な措置を施すことが重要となる。地中空洞が放置されると、その部分が降雨や地震動、あるいはその上を通過する車両の重量や振動などを受けて拡大・崩壊し、鉄道や道路にとって致命的な路盤陥没などの災害に発展するおそれがある。

現在の地中空洞の検出技術は、ボーリング調査や電磁波や特別な振動発生源からの振動などの地中からのエコーを可視化する物理探査法などが主体となっている。しかしながら、いずれも測定装置自体が高価で大掛かりであるほか、測定法、解析法が煩雑であるばかりでなく、検出精度、適用範囲などに問題が多い。

われわれは従来より、高性能振動測定装置“PIC”¹⁾を用いて測定した常時微動による表層地盤や土構造物の振動特性把握手法を提案してきた^{2),3)}。ここでは、常時微動を用いて地中空洞の存在を検知する方法について提案する。

2. 基本的な考え方

地表面で同時計測された水平方向と鉛直方向の常時微動から、表層地盤の卓越振動数や增幅倍率といった表層地盤の振動特性を求めることができる^{2),3)}。地盤の層構造は場所により異なり、複雑な層構造をなす場合も少なくないが、多くの場合、地盤を表層とそれを支える基盤層からなる2層構造に単純化して考えることができる。ここでも、図1に示すように、2層構造に単純化した地盤モデルで考えることにする。

表層地盤の卓越振動数 F_2 と增幅倍率 A_2 は、地表面で測定した常時微動の水平成分スペクトル S_H と鉛直成分スペクトル S_V の比として求められた曲線「疑似伝達関数(QTS)」の最大ピークから読み取られる。すなわち、これを式で表すと(1)式のようになる。

$$A_2 = \{S_H/S_V\}_{max} \quad (1)$$

ここに、 $S_H = A_{H2}(\omega) \cdot a_H$ 、 $S_V = A_{V2}(\omega) \cdot a_V$ で、 $A_{H2}(\omega)$ 、 $A_{V2}(\omega)$ はそれぞれ表層地盤の水平振動、鉛直振動に対する周波数応答倍率を表し、 a_H 、 a_V はそれぞれ基盤から表層地盤に入力する振動の大きさ、 $\omega = 2\pi F$ で F は振動数である。

観測事実として、基盤では水平振動と鉛直振動の振動特性がきわめて類似していることが分かっている。すなわち、これを式で表すと(2)式のようになる。ただし、 $A_{H1}(\omega)$ 、 $A_{V1}(\omega)$ はそれぞれ基盤の水平振動、鉛直振動に対する周波数応答倍率を表す。(2)式から a_H 、 a_V の関係が(3)式のようになることが分かる。

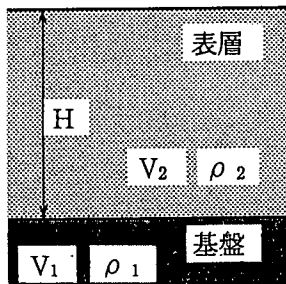


図1 表層と基盤層からなる
2層構造に単純化した地盤

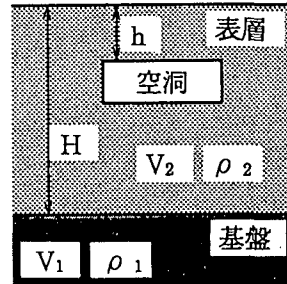


図2 表層地盤内に
空洞がある地盤

$$A_{H1}(\omega) = A_{v1}(\omega) \quad (2)$$

$$a_H = a_v \quad (3)$$

よって、(3)式の関係から、(1)式が(4)式のようになる。

$$A_2 = \{A_{H2}(\omega)/A_{v2}(\omega)\}_{\max} \quad (4)$$

$A_{H2}(\omega)$ の最大応答倍率 A_{H2} は、(5)式のときに現れる。

$$\omega H/V_{S2} = \pi/2 \quad (5)$$

ここに、 H は表層地盤の層厚、 V_{S2} は表層地盤の S 波速度である。

$\omega = 2\pi F_2$ を(5)式に代入し、 F_2 について解くと、 $A_{H2}(\omega)$ が最大応答倍率 A_{H2} となる F_2 が、(6)式で与えられる。

$$F_2 = V_{S2}/(4H) \quad (6)$$

このときの A_{H2} の値は、(7)式で与えられる。

$$A_{H2} = 2(V_{S1} \rho_1)/(V_{S2} \rho_2) \quad (7)$$

ここに、 V_{S1} は基盤の S 波速度、 ρ_1 、 ρ_2 はそれぞれ基盤と表層地盤の単位体積重量である。

表層地盤の卓越振動数 F_2 と增幅倍率 A_2 は、それぞれ(8)式と(9)式で近似できる。

$$F_2 = V_{S2}/(4H) \quad (8)$$

$$A_2 = A_{H2}/2 = (V_{S1} \rho_1)/(V_{S2} \rho_2) \quad (9)$$

いま、図 2 のように、地表面から深さ h の表層地盤内に直方体形状の空洞がある場合を考える。空洞の寸法は水平長辺方向を L_a 、水平短辺方向を L_b 、高さ方向を L_c とする。空洞の直上で水平方向と鉛直方向の常時微動を同時測定した場合を想定する。測定される常時微動は、空洞の存在がない場合の表層地盤の振動に、空洞の上部にある薄い表層地盤の振動が重ね合わされたものになることが想像できる。以下、空洞の上部にある薄い表層地盤の振動について述べる。

この部分の振動を考える際、いくつかの構造形式の適用が考えられるが、ここでは簡単のため、図 3 に示すように、空洞の水平長辺方向をはりの長さとする両端固定はりの曲げせん断振動の考え方を適用する^{5), 6)}。一様断面はりの横振動に関する微分方程式は(10)式で表される。

$$EI(\partial^4 z / \partial x^4) + \rho A(\partial^2 z / \partial t^2) - \rho I(1+E/(k'G))(\partial^4 z / \partial x^2 \partial t^2) + (\rho I/(k'G))(\partial^4 z / \partial t^4) = 0 \quad (10)$$

ここに、 E はヤング係数、 I は断面 2 次モーメント、 ρ は単位体積重量、 A は断面積、 k' は断面形状に関する係数、 G はせん断弾性係数である。

両端固定はりの境界条件のもとで(10)式を解いて、回転慣性とせん断変形の影響を考慮した 1 次の固有振動数 f を求めると、(11)式で与えられる。

$$f = (1/(2\pi))(c \lambda^2/L_a^2) / \{1 + \lambda^2 r^2/L_a^2 + (\lambda^2 r^2/L_a^2)(E/(k'G))\}^{0.5} \quad (11)$$

ここに、 $c = EI/(\rho A)^{0.5}$ 、 λ は振動モードに関する値で 1 次モードは $\lambda = 4.730$ 、 L_a ははりの長さ、 $r^2 = I/A$ 、 k' は断面形状が矩形であるから $k' = 5/6$ 、 $G = \rho V_{S2}^2/g$ で V_{S2} ははりの S 波速度、 g は重力加速度である。

ここで求められた f が、空洞の上部にある薄い表層地盤の 1 次モードの固有振動数である。2 次以上のモードの固有振動数についても(11)式で求められるが、ここでは、1 次モードのみを扱う。

空洞直上の地表面で測定された常時微動測定結果から、表層地盤の卓越振動数として F_2 が、そして、空洞の存在を示す付加振動の振動数として f が得られる。これらは、QTS に F_2 と f の 2 つの明瞭なピークとして現れる。よって、QTS 上の f のピークの有無を見ることで、まず、地中空洞の有無が判定できる。 f の値には、

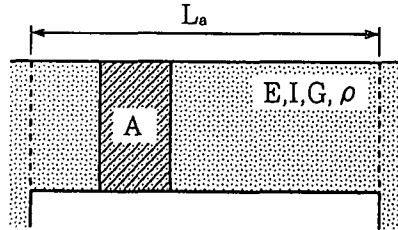


図 3 両端固定はり

空洞の平面的な広がりの寸法と土被りの厚さがファクターとして入っている。

3. 模擬地中空洞検出実験

模擬地中空洞検出実験は、当研究所構内グラウンドにおいて PIC を用いて行った。図 4 のように、地中空洞の土被り h を 0.3m と 0.6m の 2 種類とし、空洞の大きさ $L_a \times L_b \times L_c$ を $0.5 \times 0.4 \times 0.4\text{m}$ と $0.5 \times 0.2 \times 0.2\text{m}$ の 2 種類とし、4 種類の組み合わせで実験を行った。空洞掘削のため $2 \times 2 \times 1.5\text{m}$ の縦穴を掘削したが、測定前に埋め戻した。縦穴の影響を極力少なくするため、センサの X 方向を縦穴の縁に平行にした。各測点において 200Hz サンプリングで約 20 秒間の測定を行い、4096 個のデータを記録した。これを 3 回繰り返し、1 測点のデータとした。各波形を FFT 分析にかけてフーリエスペクトルを求めたが、その際、ハニングウィンドウを 80 回かけて平滑化した(バンド幅約 0.9Hz)。各測点の 3 つのスペクトルを平均したものをその地点の最終的なスペクトルとした。

図 5 に各測点の水平方向(X 方向)と鉛直方向のスペクトル比(QTS)を示す。これから表層地盤の卓越振動数 F_2 と增幅倍率 A_2 を読み取ると、全測点の平均として F_2 は 15.1Hz, A_2 は 2.57 である。基盤の S 波速度 V_{S1} を 400m/s と仮定すると(N 値 50 程度)、表層地盤の S 波速度 V_{S2} は(9)式より 156m/s となり、表層地盤の層厚 H は(8)式より 2.6m となる。

図 5 を見ると、地中空洞の直上の 4 測点 (No. 3, 7, 11, 15)での QTS の形状が他の測点と明らかに異なるのが分かる。すなわち、空洞の直上の 4 測点の QTS だけに、54~63Hz 付近に第 1 ピークと同程度のピークが見られる。これが、地中空洞の存在に伴う付加振動の影響である。いま、表層地盤の単位体積重量 ρ_2 として平均的な土の単位体積重量である $2,000\text{kgf/m}^3$ を仮定し、両端固定はりの長さ L_a として空洞の水平長辺方向の寸法 0.5m、断面として空洞の水平短辺方向長 $L_b \times$ 土被り厚さ h をとり、(11)式より付加振動の 1 次の固有振動数を求め

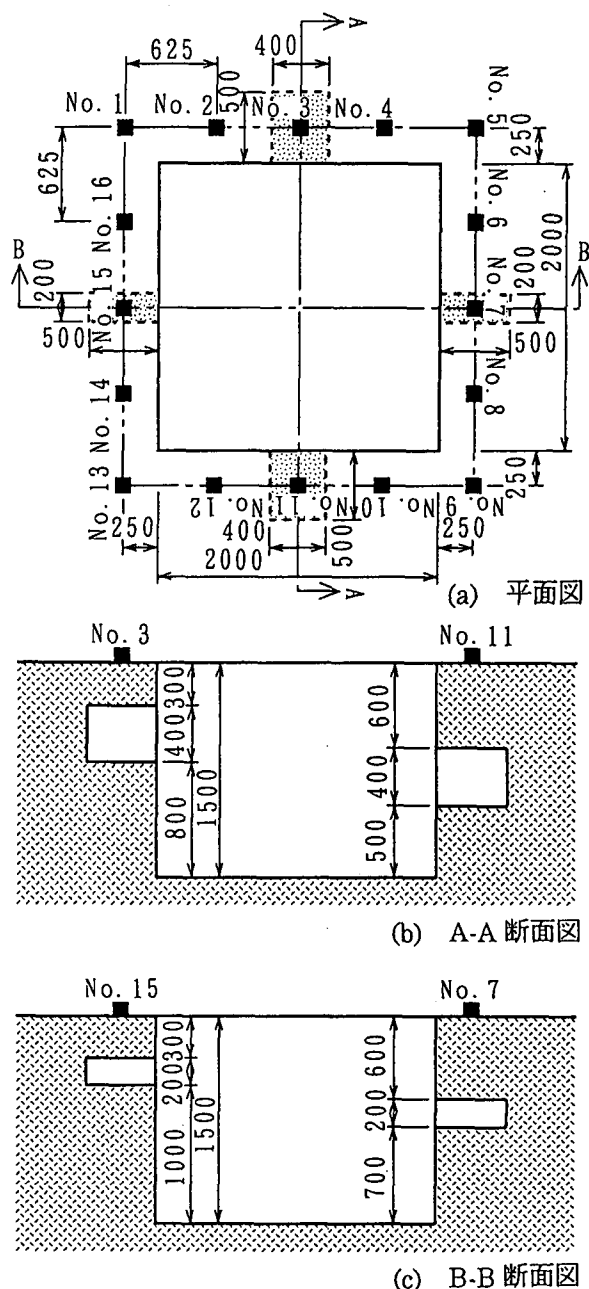


図 4 模擬地中空洞の形状・寸法ならびに測定位置図

る。表1に測定結果のfと(11)式から求められたfを比較して示す。

表1に示したように、大体予想したとおりの結果が得られた。ただし、測定結果を見ただけでは、空洞の平面的な広がりの寸法 $L_a \times L_b$ と土被りの厚さhの差異の検出が十分になされたとはいにくい。この原因はいろいろ考えられるが、空洞掘削に伴う空洞の上部にある薄い表層地盤の緩みなど、理論にのらない要因の影響も無視できないと思われる。また、測定結果のfと(11)式から求められたfが異なるのは、この部分の振動が単に両端固定はりの振動だけで表現しきれるものではないので当然のことではあるが、見方によっては両者にそれほど大きな差異があるともいえず、両端固定はりの曲げせん断振動がこの部分の振動形態を比較的よく表現しているといえる。

表1 測定結果のfと(11)式から求められたfの比較

測 点	No.3	No.7	No.11	No.15
$L_b \times h$ (m)	0.4×0.3	0.2×0.6	0.4×0.6	0.2×0.3
L_a (m)	0.5	0.5	0.5	0.5
測定結果のf (Hz)	63	63	54	60
(11)式から求められたf (Hz)	52	58	58	52

4.まとめ

地表面の常時微動を測定することにより、地中に存在する空洞を検出できる確証を得た。模擬実験の結果では、空洞の平面的な広がりの寸法 $L_a \times L_b$ と土被りの厚さhの差異の検出までは十分になされたとはいえないかったが、空洞の存在による付加振動を明瞭に識別できることを確認した。今後はそれら要因の差異が判別できるよう、多くの検証実験を行うとともに、本研究の深度化を図っていく。

《参考文献》

- 1)中村・小島・新谷：携行型振動測定器PICの開発、土木学会第42回年次学術講演概要集I、1987年9月
- 2)中村：常時微動計測に基づく表層地盤の地震動特性の推定、鉄道総研報告、Vol.2、No.4、1988年4月
- 3)中村・滝沢：常時微動による表層厚と基盤および表層地盤のS波速度の推定、鉄道総研報告、Vol.4、No.9、1990年9月
- 4)土質工学会編：土質調査法 第2回改訂版、1982年12月
- 5)土木学会構造工学委員会編：構造力学公式集 昭和61年版、1986年6月
- 6)ティモシェンコ他著・谷口他訳：新版 工業振動学、コロナ社、1977年8月

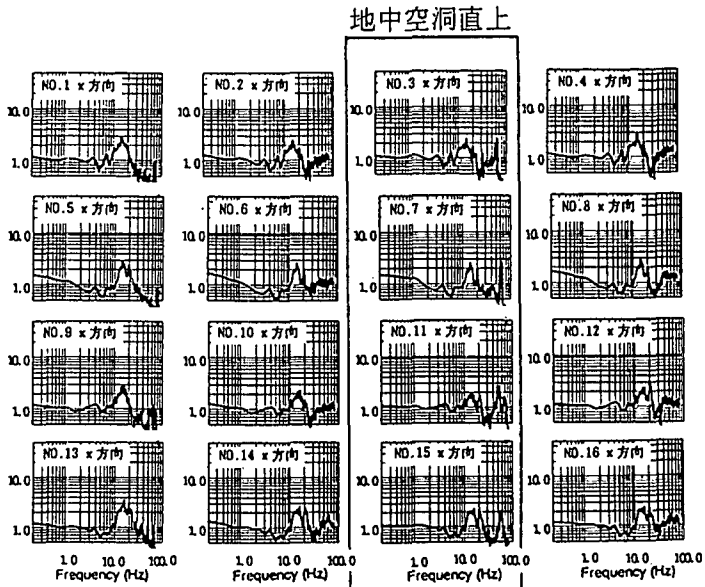


図5 各測点における疑似伝達関数(QTS)